



Estudio del efecto de escala espacial en un modelo hidrológico distribuido

Miguel Ignacio Barrios Peña

Tesis Doctoral

Director: Dr. Félix Francés García



UNIVERSITAT
POLITÈCNICA
DE VALÈNCIA

Universitat Politècnica de València, 2011



Introducción

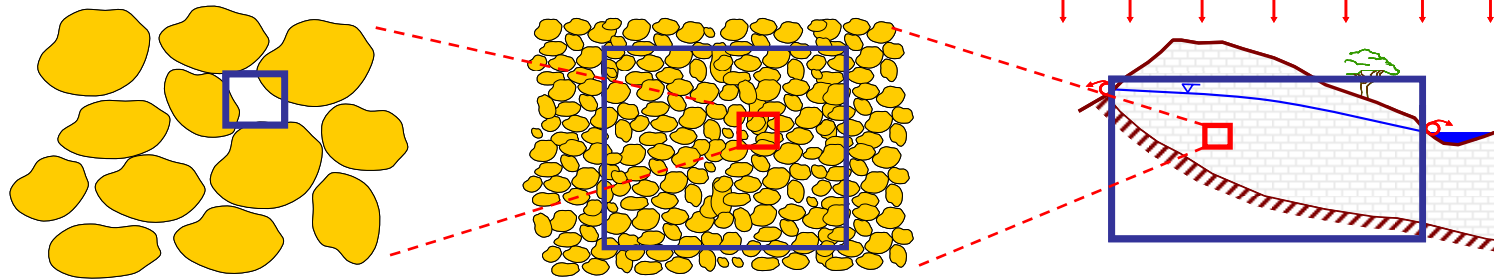
Limitaciones para la representación de procesos a diferentes escalas:

- Heterogeneidad de características ambientales (parámetros)
- Variabilidad espacio-temporal de input
- No-linealidad en procesos hidrológicos
- Propiedades emergentes

Introducción

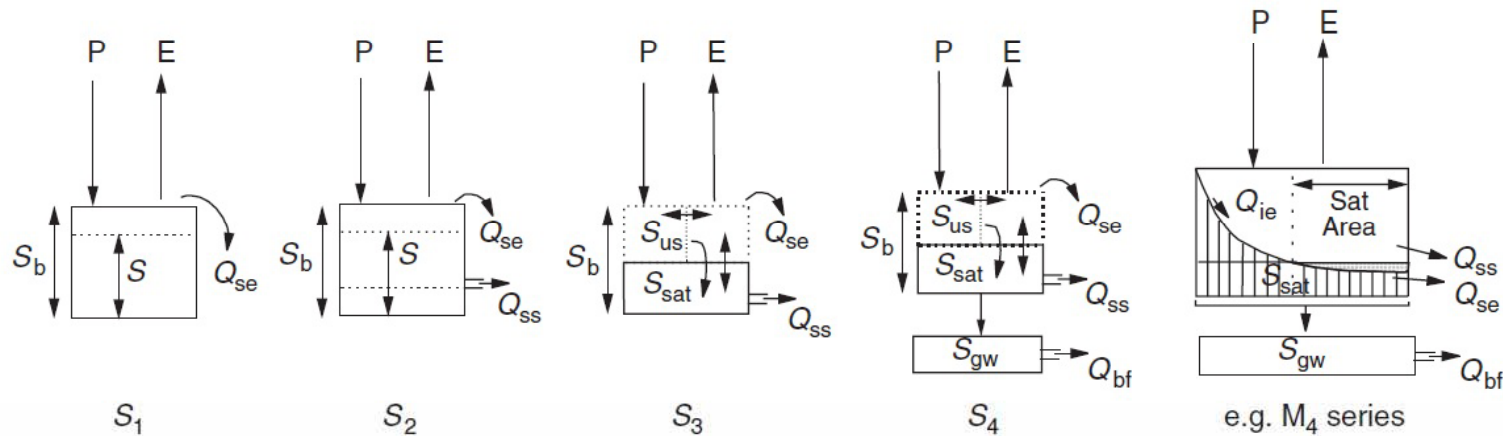
❖ “Upwards”

(Klemes, 1983; Dooge, 1986)



❖ “Downwards”

(Francés, 2011)



(Sivapalan, 2005)



Introducción

¿Por qué estudiar *Efectos de escala y Escalado*?

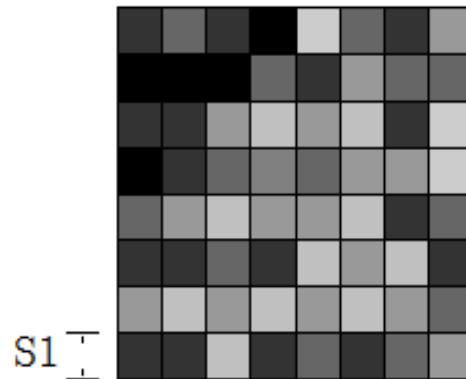
- Necesidad de vincular «microestados» y «macroestados»
- Reconciliar “upwards” y “downwards”
- Mejorar el conocimiento de las macro no-linealidades



Introducción: escalas espaciales de estudio

Microescala:

Soporte mínimo en el cual son
válidas las ecuaciones





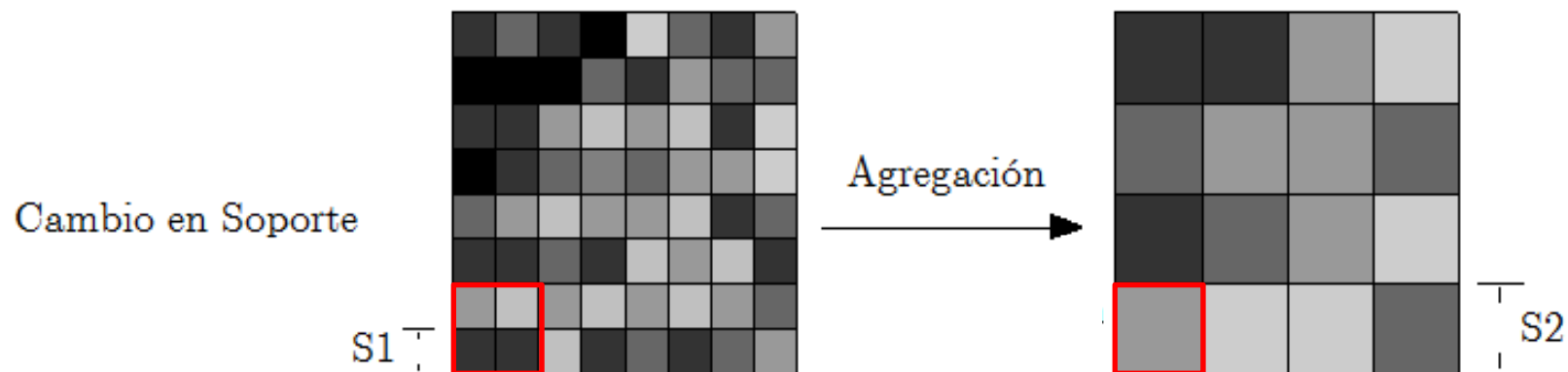
Introducción: escalas espaciales de estudio

Microescala:

Soporte mínimo en el cual son válidas las ecuaciones

Mesoescala:

Escala mayor en la cual se utilizan parámetros efectivos





Introducción

Efecto de escala agregando procesos no lineales:

$$Y(S_2) = \langle g[\theta(S_1), X(S_1)] \rangle \neq g[\langle \theta(S_1) \rangle, \langle X(S_1) \rangle]$$



Parámetro efectivo: valor que busca reproducir el proceso agregado en la mesoescala (Wigmosta y Prasad, 2005)

- No es el valor medio en la microescala
- Puede perder sentido físico en la mesoescala
- No son estacionarios



Problema de investigación

Indagar las **propiedades** y utilidad de la aplicación de **parámetros efectivos no estacionarios** en el escalado de parámetros hidrológicos



Objetivos generales

- ❖ Analizar el **efecto de la heterogeneidad** de los parámetros del suelo en la microescala sobre los **parámetros efectivos** en la mesoescala, utilizando el mismo modelo hidrológico en ambas escalas
- ❖ Proponer **ecuaciones de escalado** que relacionen los parámetros en la microescala con los parámetros en la mesoescala, para **mejorar los resultados de modelización** y evaluar su funcionamiento en una cuenca de estudio



Metodología general

1.- Efecto de escala espacial:

- ❖ Campos de parámetros
- ❖ Formulación inversa que incluye la agregación del flujo en la microescala
- ❖ Cálculo de parámetros efectivos no estacionarios en la mesoescala y
- ❖ Estudio de sus propiedades

(Barrios y Francés, 2011)



Metodología general

2.- Ecuaciones de escalado (de la microescala a la mesoescala):

- ❖ Funciones de distribución derivadas
- ❖ Ecuaciones empíricas no lineales

3.- Aplicación de las ecuaciones de escalado

- ❖ Implementación en la cuenca experimental de Goodwin Creek
- ❖ Experimento sintético
- ❖ Evaluación de resultados

(Barrios y Francés)

(1/3) Efecto de escala espacial

Efecto de escala espacial: procesos

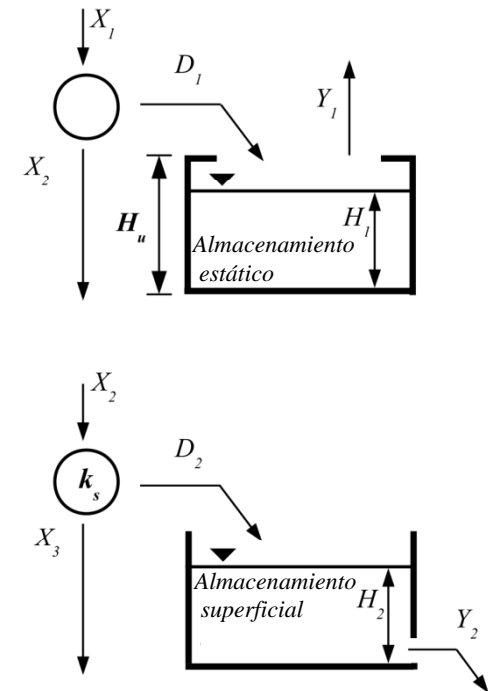
Procesos no-lineales

Almacenamiento estático:

- Excedente $X_{2,t} = \text{Max} [0; X_{1,t} - H_u + H_{1,t}]$
- Infiltración capilar $D_{1,t} = X_{1,t} - X_{2,t}$
- ET $Y_{1,t} = \text{Min} [ETP \cdot \lambda; H_{1,t}]$

Almacenamiento superficial:

- Infiltración gravitacional $X_{3,t} = \text{Min} [X_{2,t}; \Delta t \cdot k_s]$



(Francés et. al., 2002)



Efecto de escala espacial: campos aleatorios

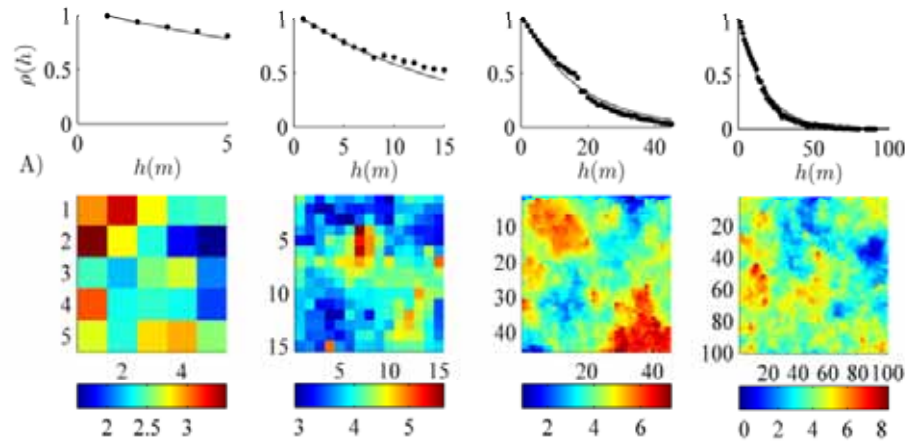
❖ Generación de campos aleatorios de parámetros H_u y k_s :

- PDF de H_u [Beta(a,b)]:
$$f = \frac{\Gamma(a+b)}{\Gamma(a)\Gamma(b)} H_u^{a-1} (1-H_u)^{b-1}$$
- PDF de k_s [LN(μ,σ)]:
$$f = \frac{1}{k_s \sigma \sqrt{2\pi}} e^{-\left[\frac{(\ln k_s - \mu)^2}{2\sigma^2}\right]}$$
- Autocorrelación espacial básica tipo exponencial:
$$\rho(h) = e^{-\left(\frac{3h}{a}\right)}$$

❖ Algoritmo de muestreo (Pinder y Celia, 2006):

- Muestreo por Hipercubo Latino
- Factorización de Cholesky

Efecto de escala espacial: campos aleatorios



Escalas espaciales

Microescala S1	Mesoescala S2		# de realizaciones
	Tamaño	Notación	
[m ²]	[m ²]		
1 x 1	5 x 5	S2a	500
1 x 1	15 x 15	S2b	500
1 x 1	45 x 45	S2c	2500
1 x 1	100 x 100	S2d	5000

Estadísticos de los campos

$\mu (H_u)$	$\mu (k_s)$	CV = σ/μ
70	20	0.5
100	60	1
		1.5
		2

18 Longitudes de correlación:

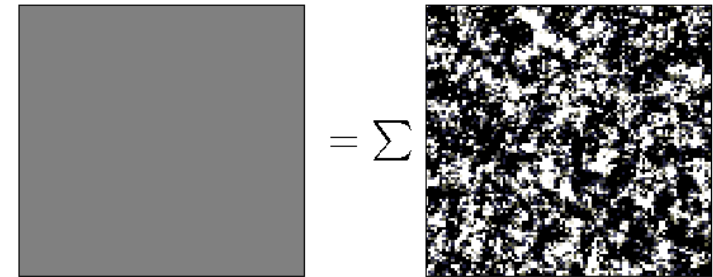
$a = 2.5, 5, 10, \dots, 50, 75, 100, 150, 250, 500, 2500$ y 5000 m

Efecto de escala espacial: parámetros en la mesoescala

❖ Agregación:

Excedente $X_2 [S2] = \sum_{i=1}^n X_{2i}$

Infiltración gravitacional $X_3 [S2] = \sum_{i=1}^n X_{3i}$



Agregación del flujo

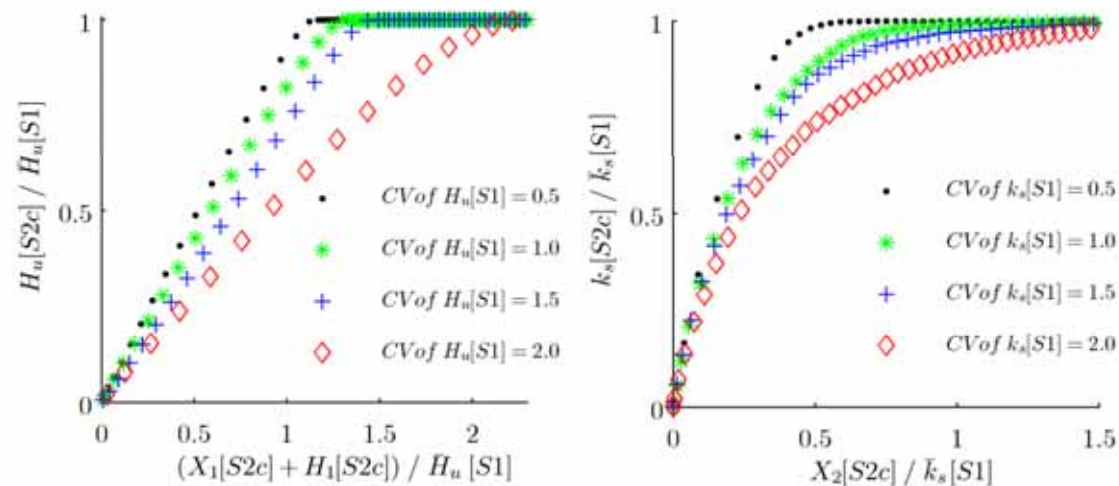
❖ Parámetros efectivos en la mesoescala (solución inversa):

$$H_u [S2]_t = X_1 [S2]_t + H_1 [S2]_t - X_2 [S2]_t$$

$$k_s [S2]_t = \left\{ \begin{array}{l} X_2 [S2]_t \cdot (\Delta t)^{-1} \\ X_3 [S2]_t \cdot (\Delta t)^{-1} \end{array} \right. \left. \begin{array}{l} X_3 [S2]_t = X_2 [S2]_t \\ X_3 [S2]_t > X_2 [S2]_t \end{array} \right\}$$

Efecto de escala espacial: parámetros en la mesoescala

- ❖ H_u y k_s tienen una fuerte dependencia de las variables de estado e input, y son sensibles a la heterogeneidad en la microescala:



- Valores sensibles al CV
- Baja influencia de la estructura de dependencia espacial (magnitud) en contraste con CV

Efecto de escala espacial: parámetros en la mesoescala

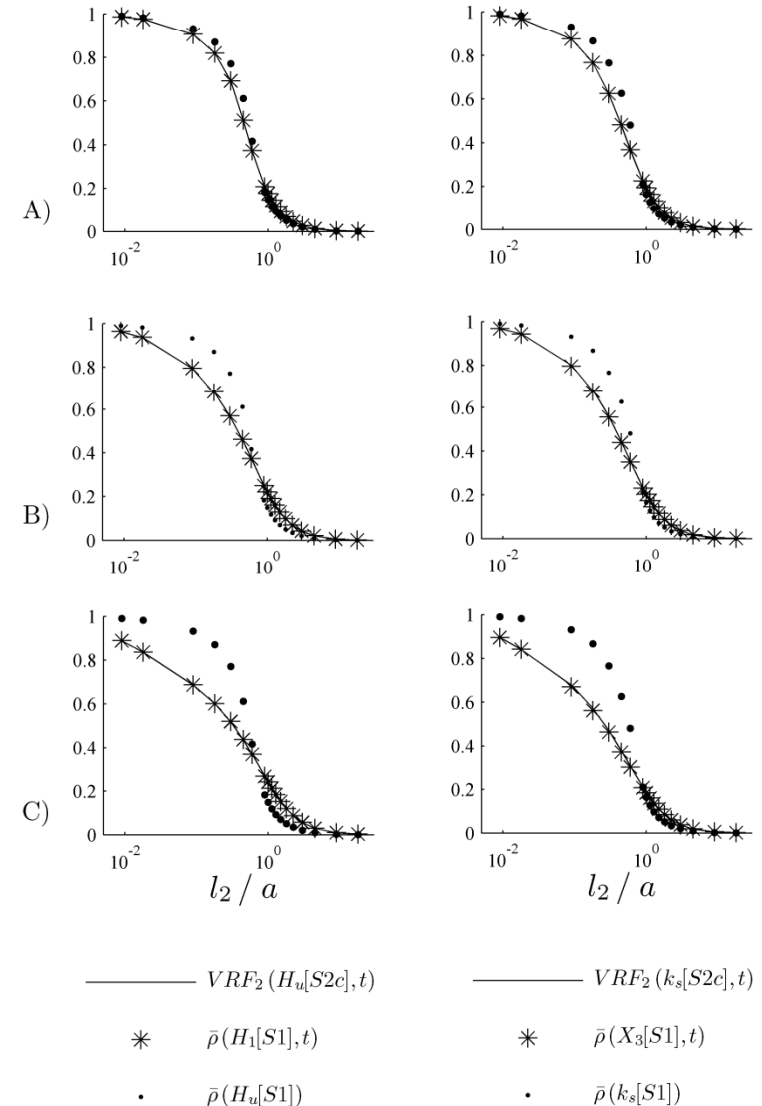
❖ Factor de reducción de varianza (VRF)

$$VRF_1(H_u) = \frac{Var(H_u[S2])}{\sigma^2(H_u[S1])} = \bar{\rho}(H_u[S1])$$

$$VRF_1(k_s) = \frac{Var(k_s[S2])}{\sigma^2(k_s[S1])} = \bar{\rho}(k_s[S1])$$

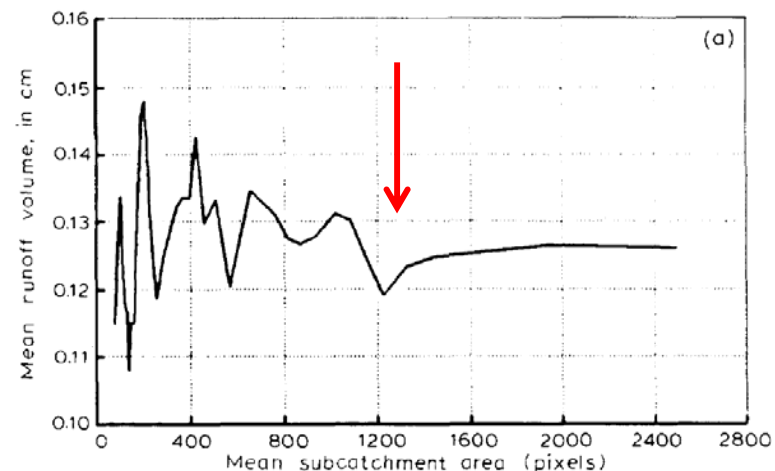
$$VRF_2(H_u, t) = \frac{Var(H_u[S2], t)}{\sigma^2(H_1[S1], t)} = \bar{\rho}(H_1[S1], t)$$

$$VRF_2(k_s, t) = \frac{Var(k_s[S2], t)\Delta t^2}{\sigma^2(X_3[S1], t)} = \bar{\rho}(X_3[S1], t)$$



Efecto de escala espacial: tamaño de celda - REA

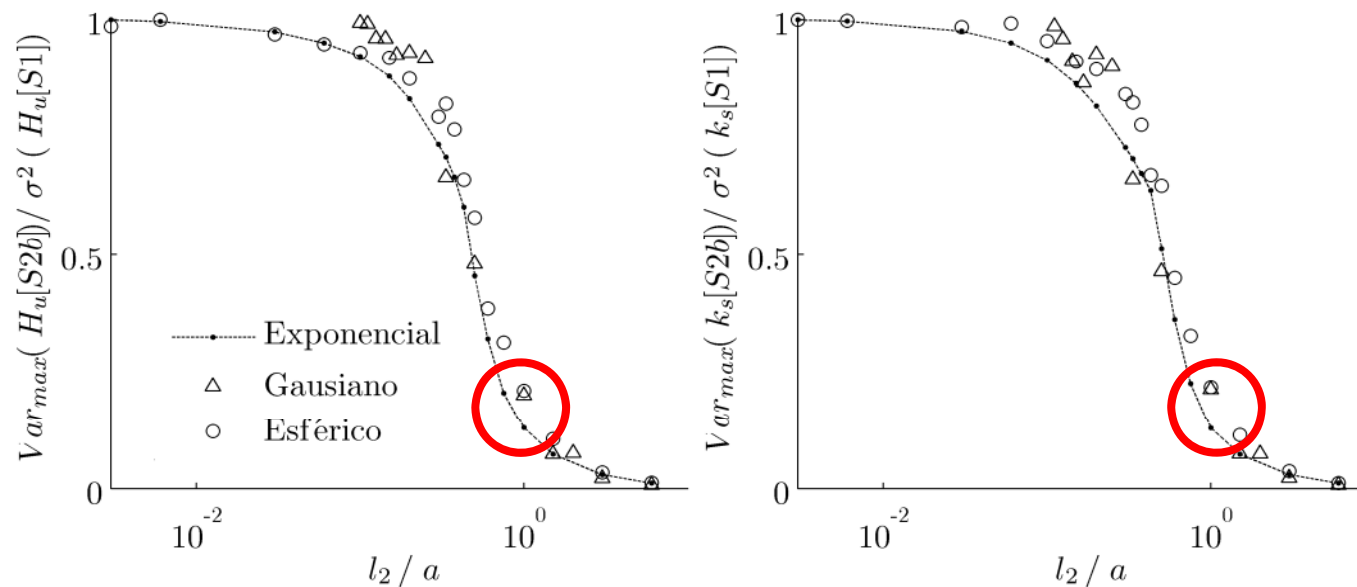
REA: la escala más pequeña en la cual se minimiza el efecto del patrón de variabilidad espacial, **área umbral** en la que se puede identificar una respuesta media similar en diferentes localizaciones



(Wood, *et al.*, 1988)

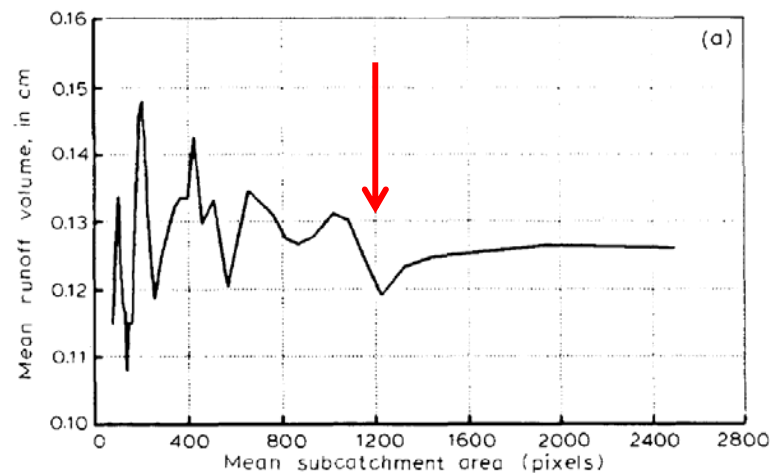
Efecto de escala espacial: tamaño de celda - REA

Cuando $l_2 > a$, comienza a ser menos importante la representación del patrón de variabilidad espacial

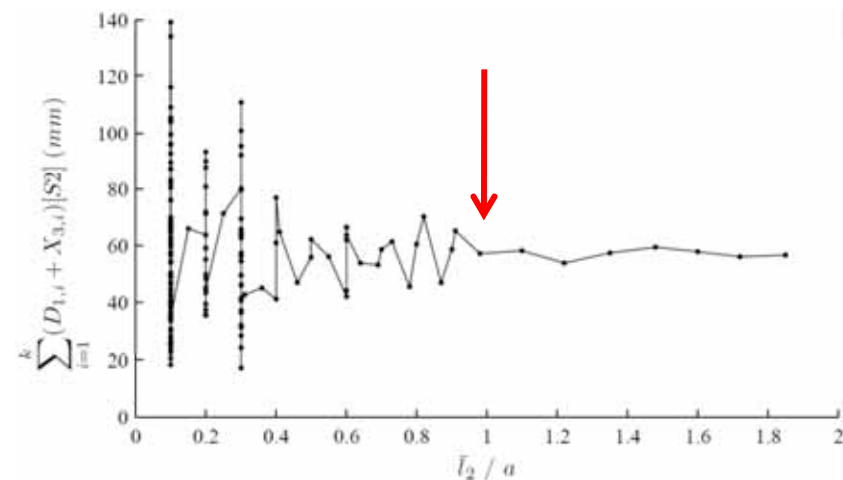


Efecto de escala espacial: tamaño de celda - REA

REA está relacionada con l_2/a y remueve el efecto del patrón espacial. La disminución de VRF en REA puede influir en la selección de un tamaño de celda óptimo



(Wood, *et al.*, 1988)





Efecto de escala espacial: selección de tamaño de celda

Tamaño de celda óptimo

Depende de criterios adicionales muy importantes:

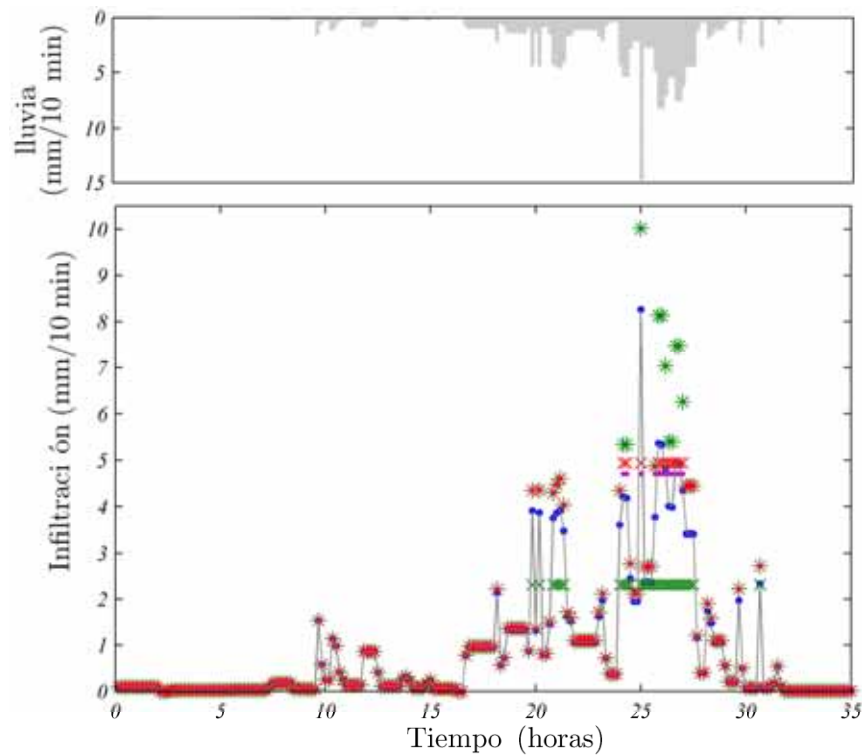
- *Resolución de datos de entrada disponibles*
- *Objetivos de la modelación en un caso concreto*
- *Discretización requerida para las variables de salida*
- *Escala de validez de los modelos utilizados para representar los procesos hidrológicos relevantes*

(2/3) Ecuaciones de escalado

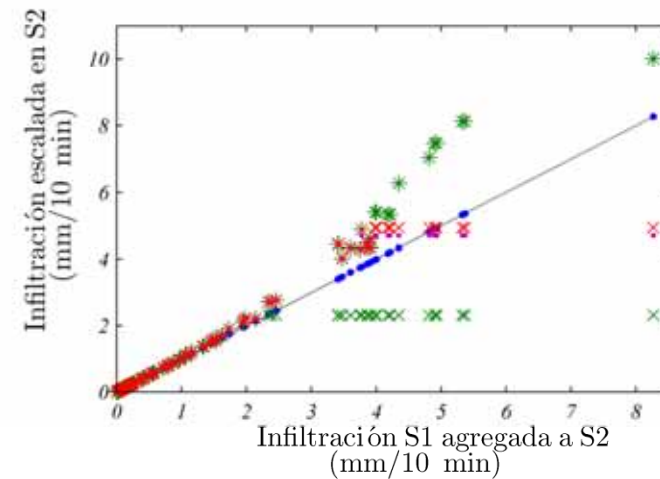


Ecuaciones de escalado

Parametrización de heterogeneidades: de la microescala a la mesoescala



- con parámetros efectivos no estacionarios en S2
- * con la media aritmética de los parámetros en S1
- con la media geométrica de los parámetros en S1
- x con la media armónica de los parámetros en S1
- x con parámetros estacionarios calibrados en S2
- Infiltración S1 agregada a S2



Ecuaciones de escalado: procesos no lineales

Almacenamiento estático:

- Excedente $X_{2,t} = \text{Max} [0; X_{1,t} - H_u + H_{1,t}]$
- Infiltración capilar $D_{1,t} = X_{1,t} - X_{2,t}$
- ET $Y_{1,t} = \text{Min} [ETP \cdot \lambda; H_{1,t}]$

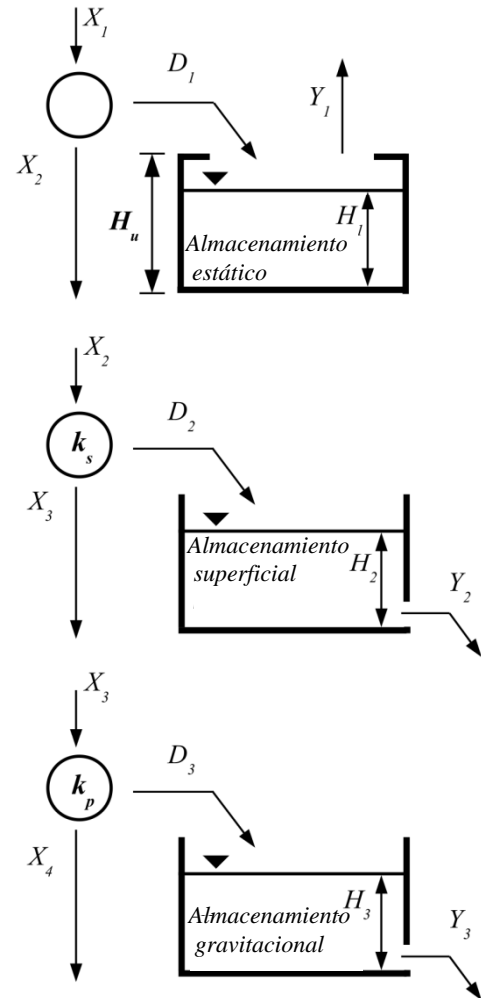
Almacenamiento superficial:

- Infiltración gravitacional $X_{3,t} = \text{Min} [X_{2,t}; \Delta t \cdot k_s]$

Almacenamiento gravitacional:

- Percolación $X_{4,t} = \text{Min} [X_{3,t}; \Delta t \cdot k_p]$

(Francés et. al., 2002)





Funciones de distribución derivadas

Método de dos pasos («*two-step approach*»):

$$Y = g(X)$$

1) Calcular la **CDF** de Y:

$$F_Y(y) = P(g(X) \leq y)$$

2) Diferenciar para obtener la **PDF**:

$$f_Y(y) = \frac{dF_Y(y)}{dy}$$




Funciones de distribución derivadas

¡Caso de $a = 0!$

Capacidad de almacenamiento estático:

$$H_u [S2]_t = \int_0^{n_u/(1-w)} \frac{H_u}{\Lambda} \cdot \frac{\Gamma(a+b)}{\Gamma(a) \cdot \Gamma(b)} \cdot \left(\frac{H_u}{\Lambda}\right)^{a-1} \left(1 - \frac{H_u}{\Lambda}\right)^{b-1} dH_u +$$

$$\int_{n_u/(1-w)}^{\Lambda w + n_u} \frac{H_{1,t-1} + X_{1,t}}{\Lambda \cdot w} \cdot \frac{\Gamma(a+b)}{\Gamma(a) \cdot \Gamma(b)} \cdot \left(\frac{H_{1,t-1}}{\Lambda \cdot w}\right)^{a-1} \left(1 - \frac{H_{1,t-1}}{\Lambda \cdot w}\right)^{b-1} dH_{1,t-1}$$

Conductividad hidráulica saturada del suelo:

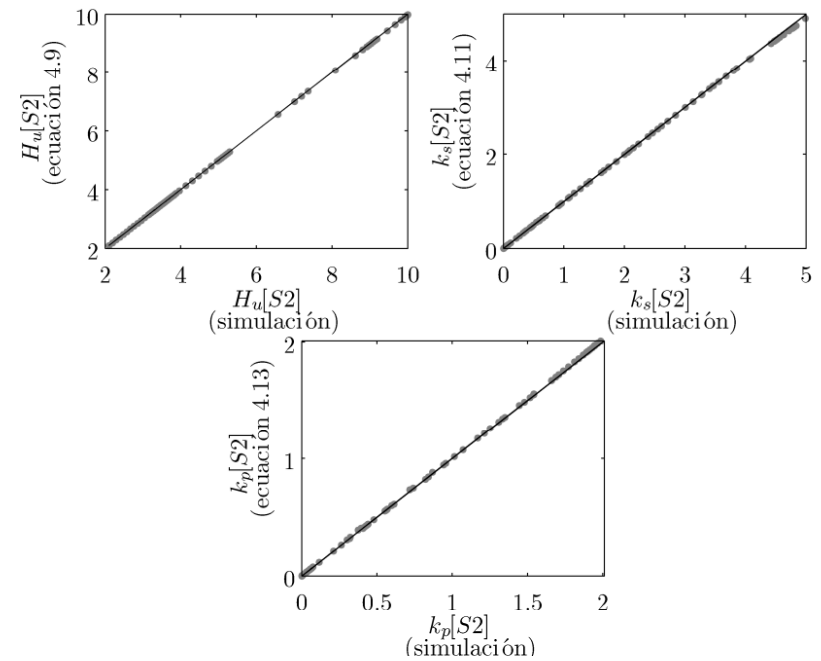
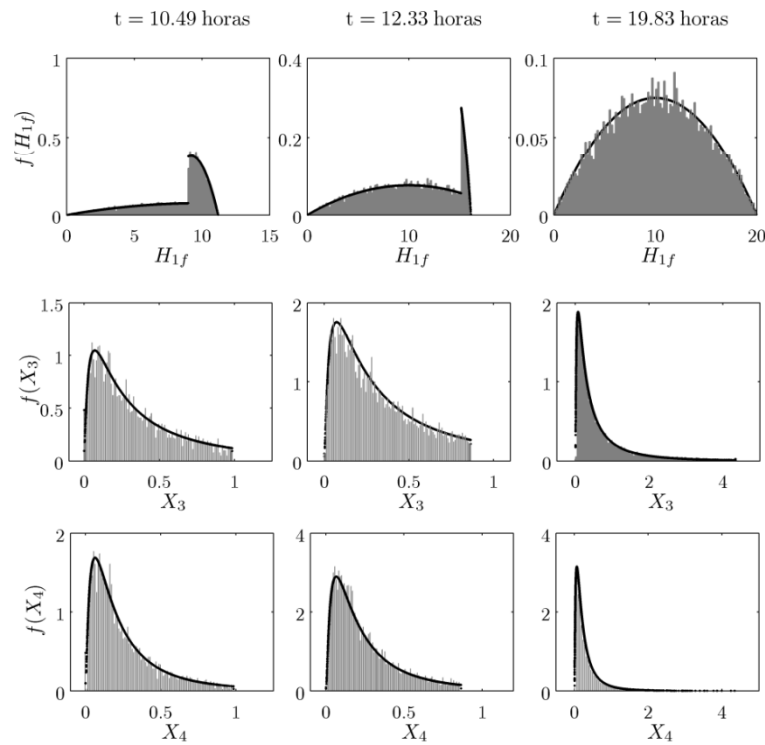
$$k_s [S2]_t = \frac{\int_0^{X_{3\max}} F'_{k_s} (X_3/\Delta t) + F'_{X_2} (X_3) - F'_{k_s} (X_3/\Delta t) \cdot F_{X_2} (X_3) - F_{k_s} (X_3/\Delta t) \cdot F'_{X_2} (X_3)}{\Delta t}$$

Conductividad hidráulica saturada del sustrato:

$$k_p [S2]_t = \frac{\int_0^{X_{4\max}} F'_{k_p} (X_4/\Delta t) + F'_{X_3} (X_4) - F'_{k_p} (X_4/\Delta t) \cdot F_{X_3} (X_4) - F_{k_p} (X_4/\Delta t) \cdot F'_{X_3} (X_4)}{\Delta t}$$

Funciones de distribución derivadas

Comprobación vía simulaciones de Monte Carlo:





Funciones de distribución derivadas

La deducción analítica de funciones de distribución conjuntas y funciones de distribución condicionadas **para incorporar dependencia espacial** es bastante compleja, dada la **no linealidad** de las ecuaciones del flujo

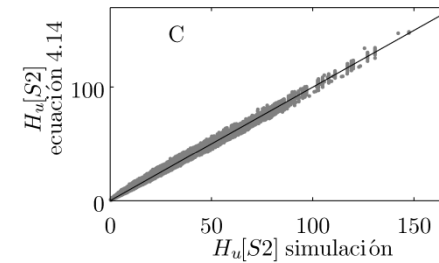
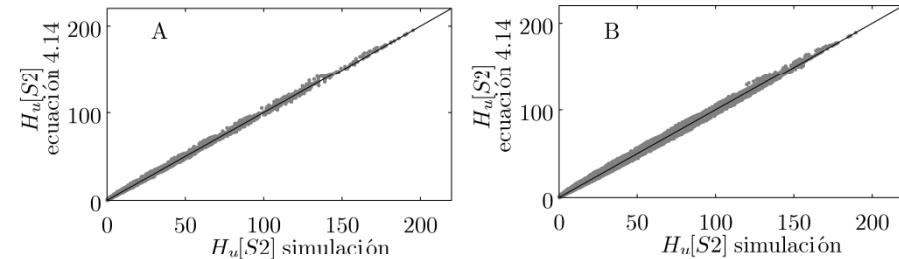


Alternativa: regresión no-lineal

Ecuaciones de escalado empíricas

Capacidad de almacenamiento estático en la mesoescala:

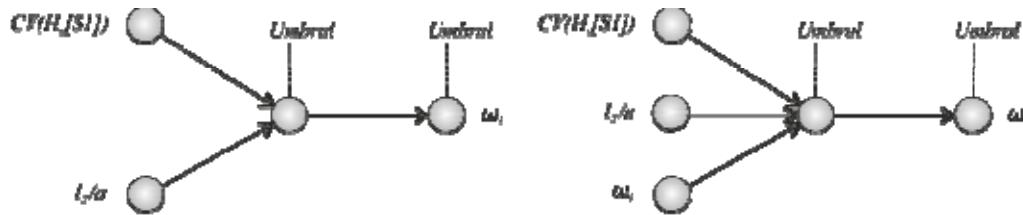
$$H_u [S2]_t = (X_{1,t} + H_{1,t}) \left\{ 1 - \Phi \left[\frac{\ln(X_{1,t} + H_{1,t} - \omega_1)}{\omega_2} \right] \right\} + \bar{H}_u [S1] \left\{ \Phi \left[\frac{\ln(X_{1,t} + H_{1,t} - \omega_1)}{\omega_2} \right] - 0.93 \omega_1^{-0.47} \omega_2 \right\}$$



Parámetros relacionados con $CV(H_u[S1])$ y l_2/a

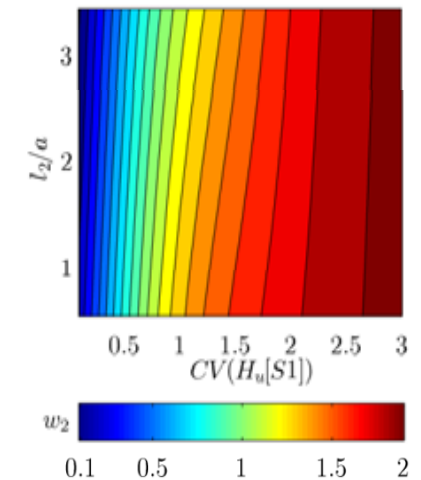
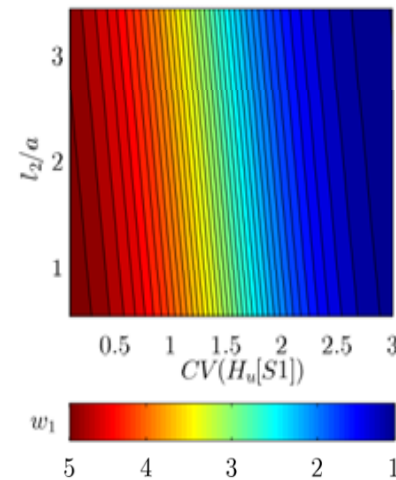
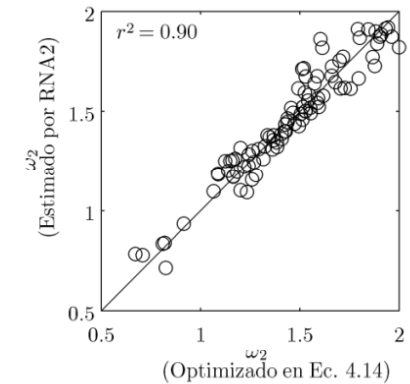
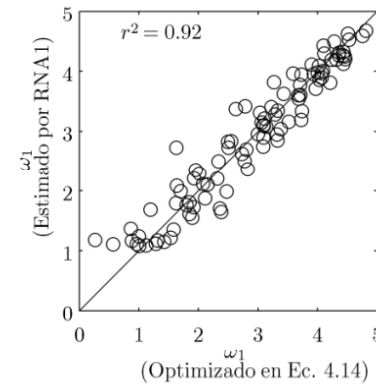
Ecuaciones de escalado empíricas

Capacidad de almacenamiento estático en la mesoescala:



RNA1	Capa Oculta	Capa de salida
Umbral Activación	Temp. de activación	Umbral
Peso	-1.8747	UMR07
	-0.8223	
Bias	-0.8927	0.2308

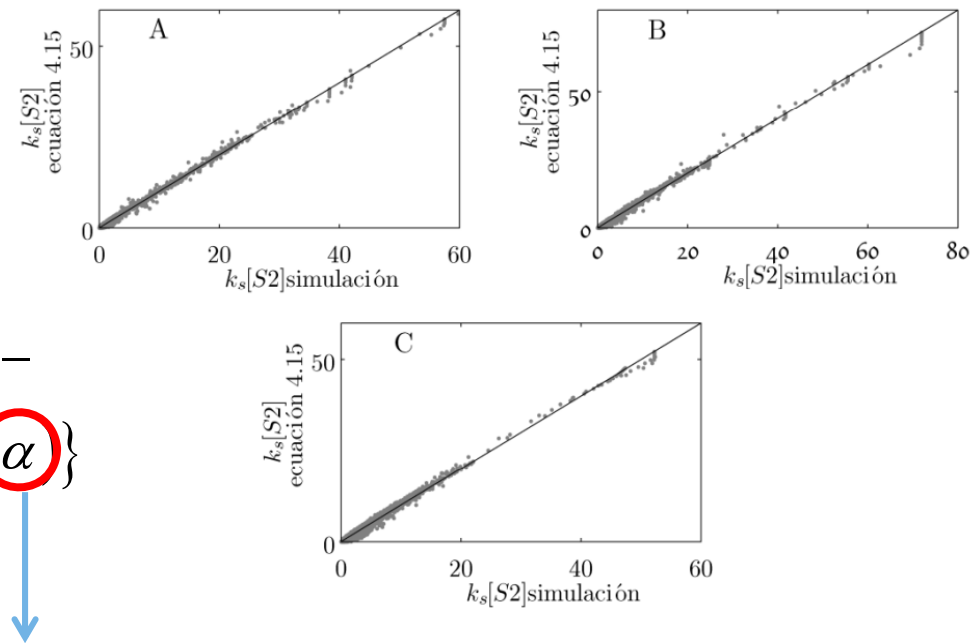
RNA2	Capa Oculta	Capa de salida
Umbral Activación	Umbral de activación	Umbral
Peso	-1.5103	UMR04
	0.0002	
	-0.0014	
Bias	-1.0000	-1.1428



Ecuaciones de escalado empíricas

Conductividad hidráulica saturada del suelo en la mesoescala:

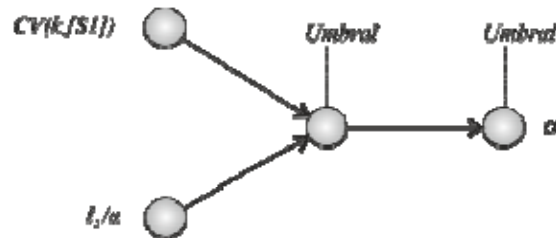
$$k_s [S2]_t = \bar{k}_s [S1] \{ \varepsilon (X_2 [S2]_t ; \alpha) \} - X_2 [S2]_t \{ 1 - \varepsilon (X_2 [S2]_t \cdot \alpha) \}$$



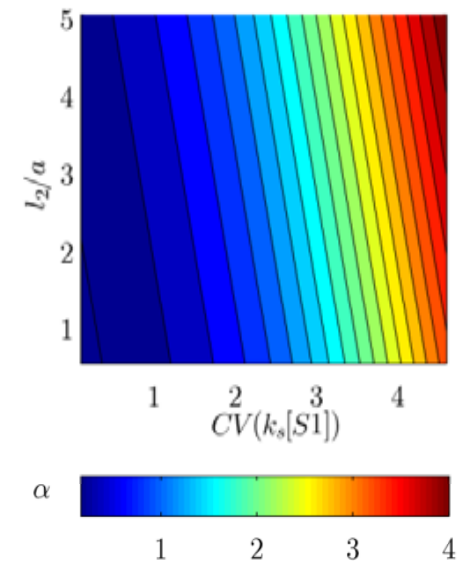
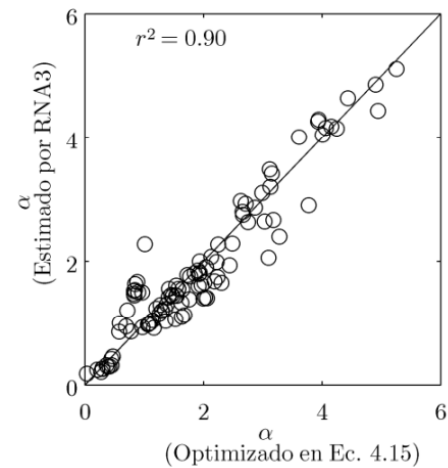
Parámetro relacionado con $CV(k_s[S1])$ y l_2/a

Ecuaciones de escalado empíricas

Conductividad hidráulica saturada del suelo en la mesoescala:



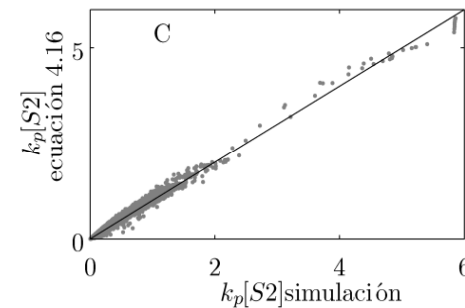
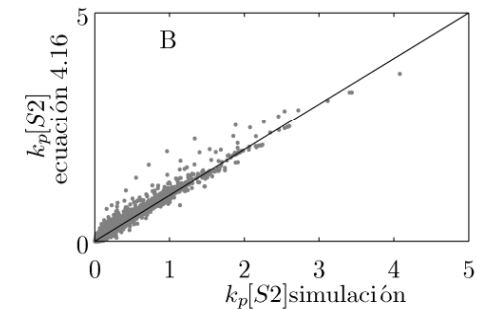
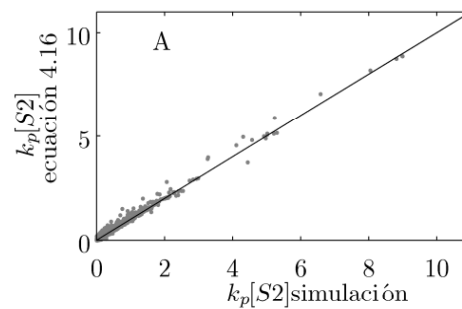
ERAS	Capa Oculta	Capa de salida
Función Activación	Tanq. Hipérbolica	Lineal
Pesos	-0.0010 -0.9991	-1.5007
Bias	0.0021	0.1074



Ecuaciones de escalado empíricas

Conductividad hidráulica saturada del sustrato del suelo en la mesoescala:

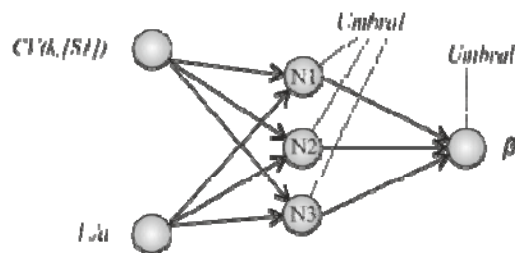
$$k_p [S2]_t = \bar{k}_p [S1] \{ \varepsilon (X_3 [S2]_t ; \beta) \} - X_3 [S2]_t \{ 1 - \varepsilon (X_3 [S2]_t ; \beta) \}$$



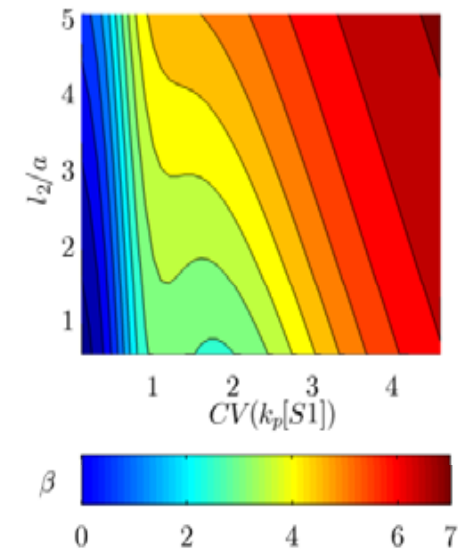
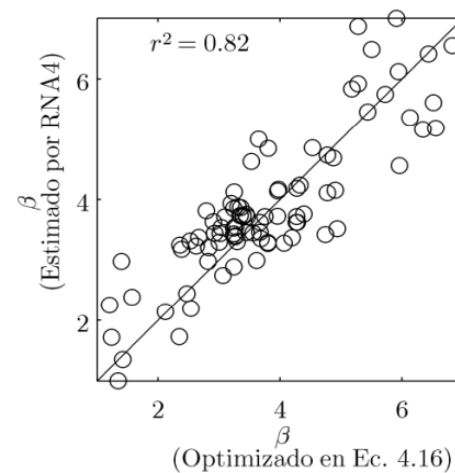
Parámetro relacionado con $CV(k_p[S1])$ y l_2/a

Ecuaciones de escalado empíricas

Conductividad hidráulica saturada del sustrato del suelo en la mesoescala:



RNA	Capa Oculta			Capa de salida
Función de Activación	Tang. Hiperbólica			Lineal
	N1	N2	N3	beta
Pesos	-2.1710	0.9400	5.1271	1.5115
Bias	0.7552	0.9610	0.2102	0.8781
	-2.9791	1.2518	5.1301	-0.5025

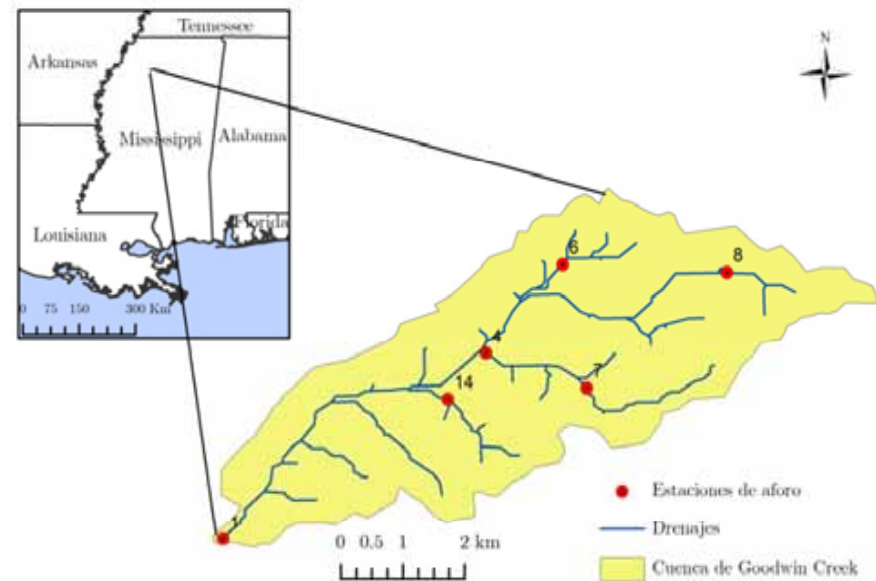


(3/3) Aplicación de las ecuaciones de escalado

Cuenca de estudio

Cuenca experimental de **Goodwin Creek**

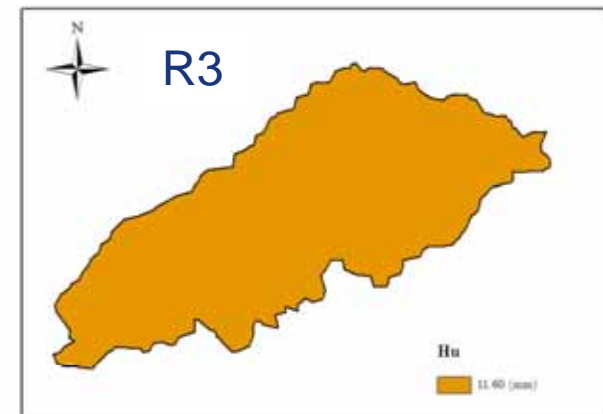
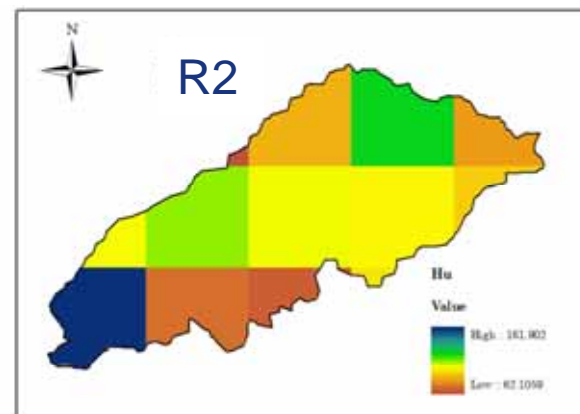
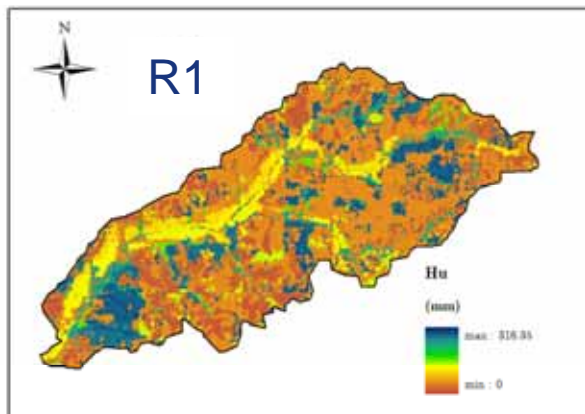
- Área de la cuenca: 21.6 km²
- Río efímero
- Escorrentia Hortoniana
- 16 estaciones pluviográficas (resolución temporal de 5 minutos)
- 6 estaciones de aforo (calibración en la salida de la cuenca)
- DEM: 30x30 m²
- Cinco eventos de crecida seleccionados en el periodo de 1981 a 1983: caudal pico de 38 a 106 m³/s



Escenarios modelados

Tres escalas de información, “con” o “sin” ecuaciones de escalado

Notación	Escenarios
R1	Mapas con resolución de 30x30 m ² , sin ecuaciones de escalado
R1+EE	Mapas con resolución de 30x30 m ² , con ecuaciones de escalado
R2	Mapas con resolución de 1740x1740 m ² , sin ecuaciones de escalado
R2+EE	Mapas con resolución de 1740x1740 m ² , con ecuaciones de escalado
R3	Mapas con el promedio para toda la cuenca, sin ecuaciones de escalado
R3+EE	Mapas con el promedio para toda la cuenca, con ecuaciones de escalado





Índices de evaluación de los modelos

Cinco índices:

Nash-Sutcliffe (NSE)

$$NSE = 1 - \frac{\sum_{t=1}^T (\hat{Q}_t - Q_t)^2}{\sum_{t=1}^T (Q_t - \bar{Q})^2}$$

Raíz cuadrada del error cuadrático medio (RMSE)

$$RMSE = \sqrt{\frac{\sum_{t=1}^T (Q_t - \hat{Q}_t)^2}{T}}$$

Error en volumen (E_v)

$$E_v = \frac{V - \hat{V}}{V} \cdot 100$$

Error en caudal pico (E_Q)

$$E_Q = \frac{Q_p - \hat{Q}_p}{Q_p} \cdot 100$$

Error en tiempo al pico (E_t)

$$E_t = t_p - \hat{t}_p$$

Calibración

Calibración de factores correctores (FCs):

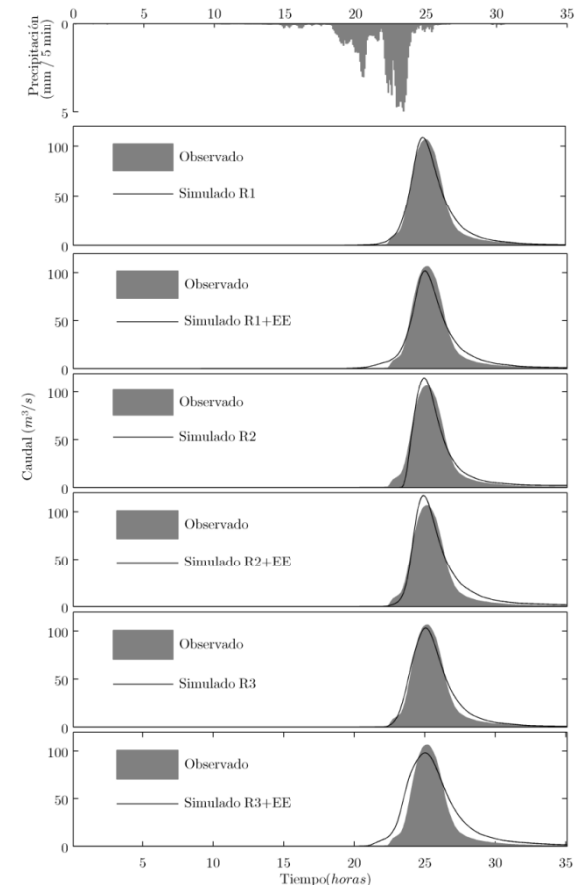
Identificador	Parámetro/Proceso afectado
FC1*	Almacenamiento estático
FC3*	Infiltración
FC4*	Velocidad del flujo en ladera
FC5*	Percolación
FC6*	Velocidad del flujo subsuperficial
FC9*	Velocidad del flujo en canales

+ 4 parámetros de EE

Calibración automática (SCE-UA)

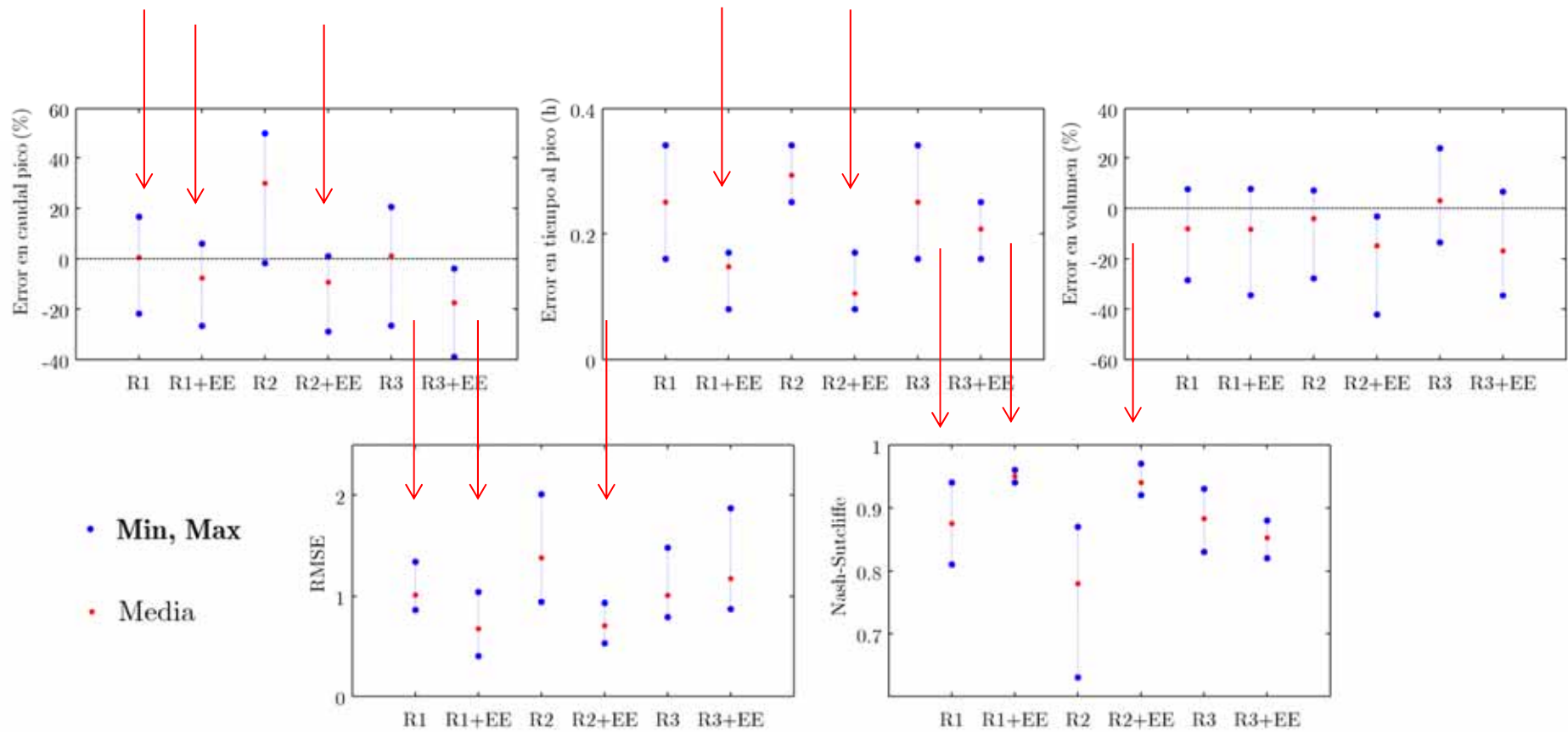
minimizar:

$$FO = 1 - NSE = 1 - 1 - \sum_{t=1}^T \frac{(\hat{Q}_t - Q_t)^2}{(Q_t - \bar{Q})^2}$$



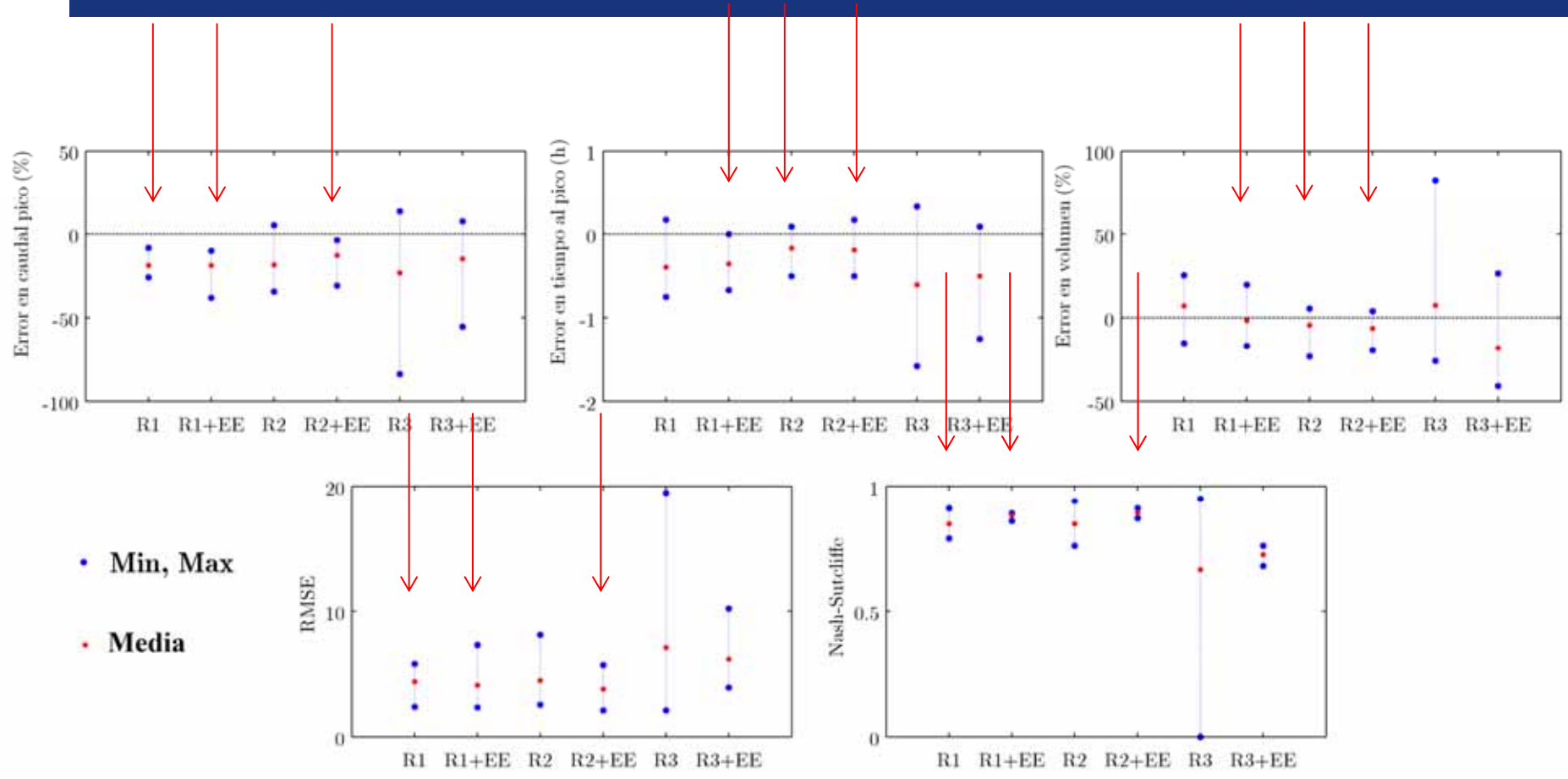
R1, R1+EE, R2, R2+EE, R3 y R3+EE:
calibrados en la salida de la cuenca

Validación espacial

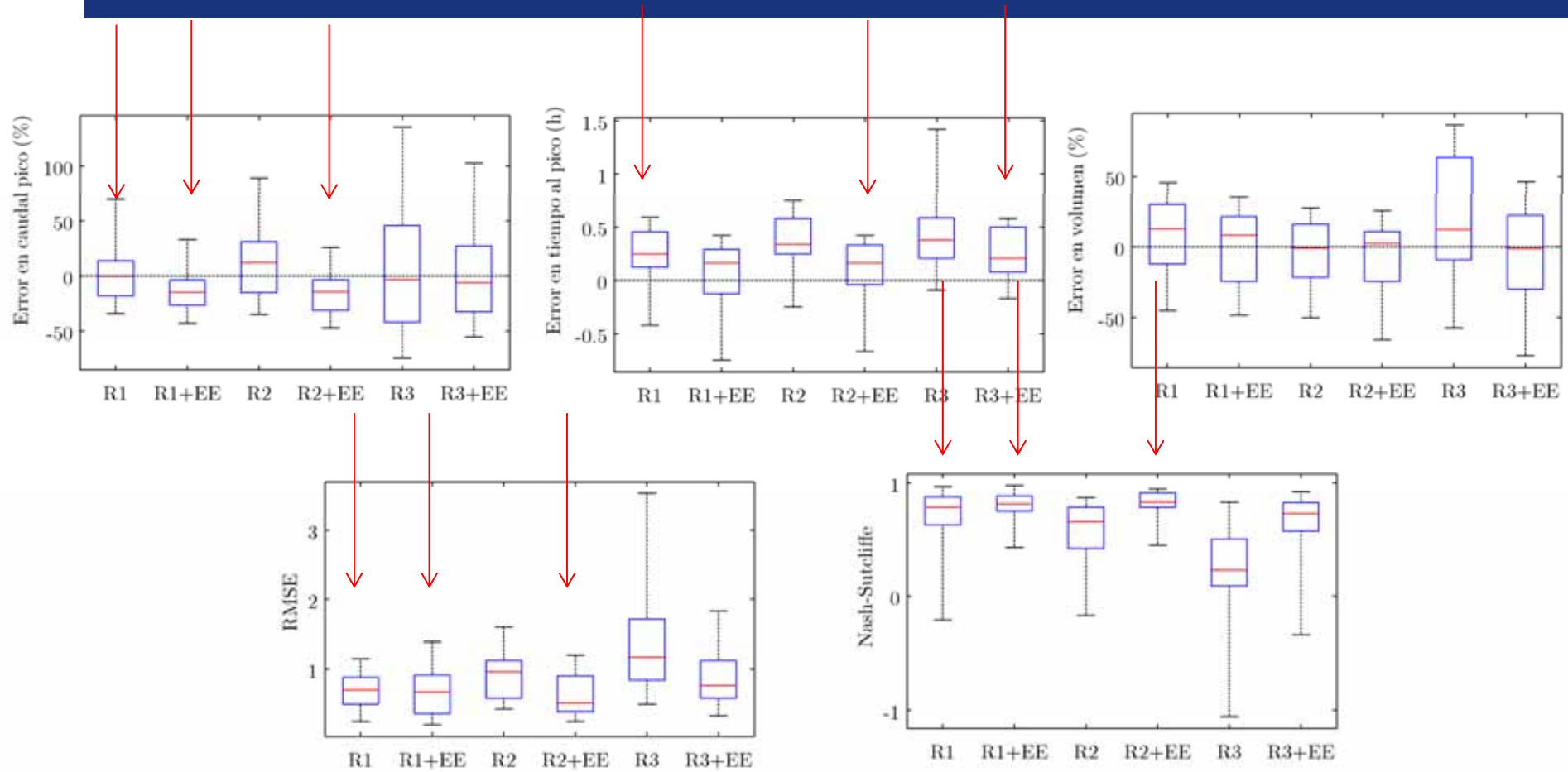




Validación temporal

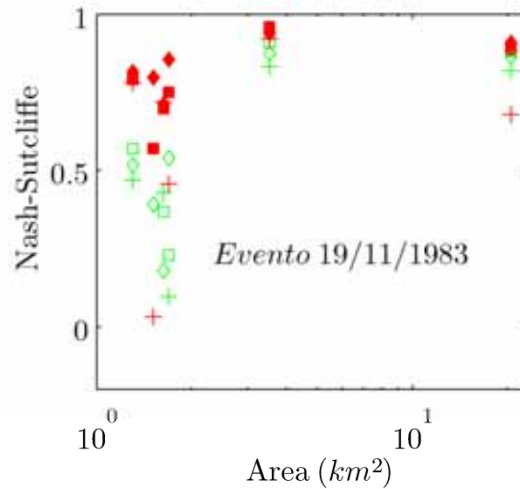
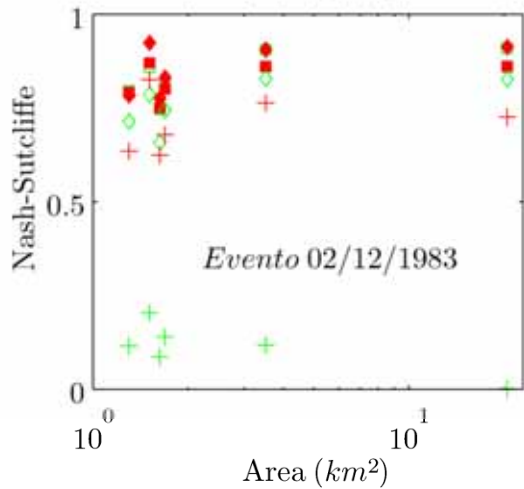
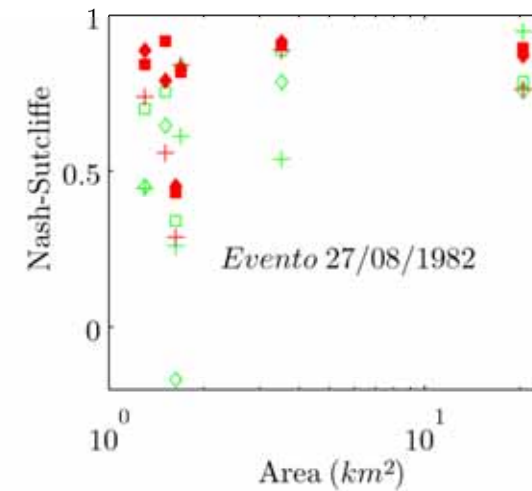
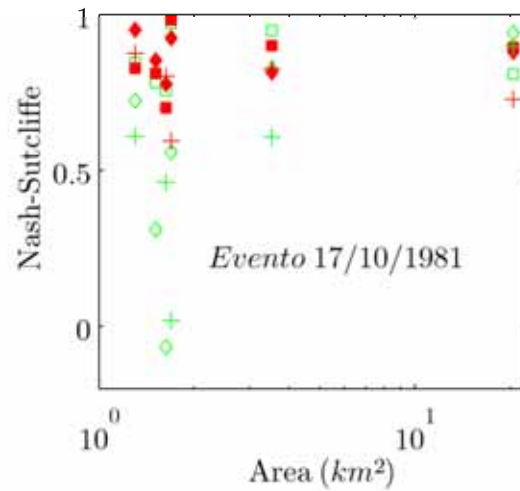
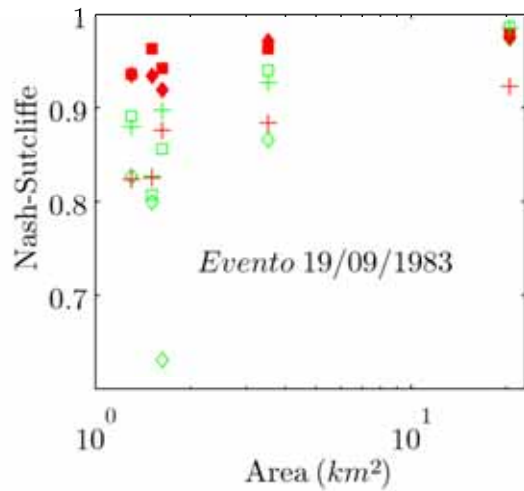


Validación espacio-temporal





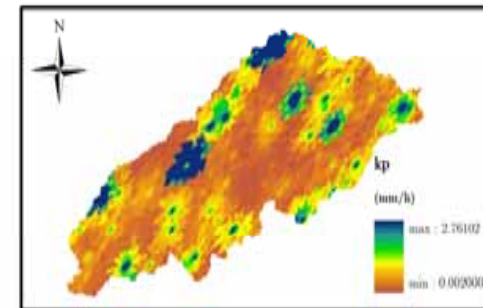
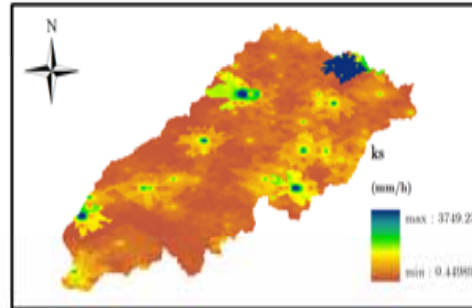
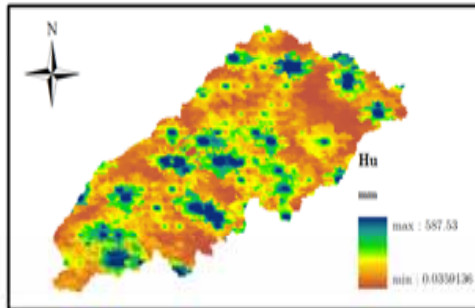
Desempeño vs. área de sub-cuenca



- R1
- R1+EE
- ◇ R2
- ◆ R2+EE
- + R3
- + R3+EE

Efecto de agregación - experimento sintético

Campos de parámetros:

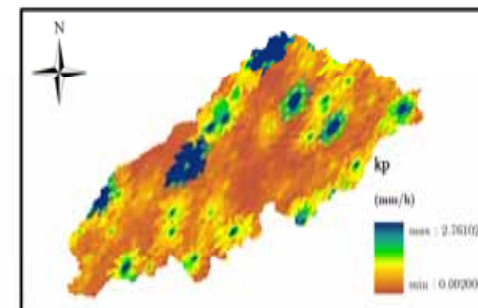
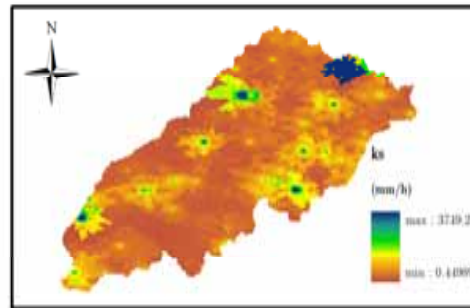
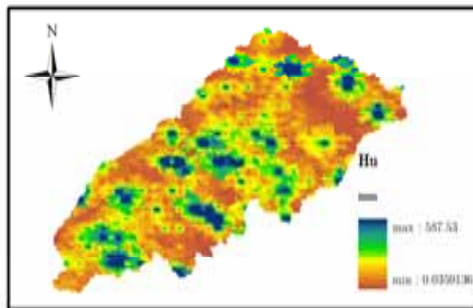


Propiedad	Parámetro		
	<i>Hu</i>	<i>ks</i>	<i>kp</i>
Modelo espacial	Exponencial	Exponencial	Exponencial
Rango máximo	200 m	200 m	200 m
Rango mínimo	100 m	100 m	100 m
Dirección	94.1°	92.5°	45°
Meseta	8595.7	26427	0.2177
Pepita	0	0	0
Media	44.32	40.31	0.0957
Desviación estándar	39.88	87.37	0.1154
CV	0.90	2.17	1.21

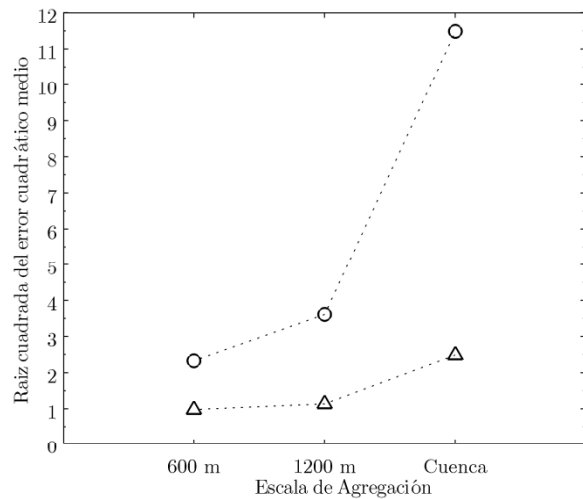
Efecto de agregación - experimento sintético

Parámetros de EE estimados:

Resolución	Parámetro					
	Hu		ks		kp	
600 m	$\overline{CV} = 0.6$	$\omega_1 = 4.5$	$\overline{CV} = 0.6$	$\alpha = 0.35$	$\overline{CV} = 0.5$	$\beta = 1$
	$l_2/a > 3$	$\omega_2 = 0.8$	$l_2/a > 3$		$l_2/a > 3$	
1200 m	$\overline{CV} = 0.6$	$\omega_1 = 4.5$	$\overline{CV} = 1$	$\alpha = 0.45$	$\overline{CV} = 0.6$	$\beta = 1.2$
	$l_2/a > 3$	$\omega_2 = 0.8$	$l_2/a > 3$		$l_2/a > 3$	
cuenca	$CV = 0.9$	$\omega_1 = 3.5$	$CV = 2.1$	$\alpha = 0.6$	$CV = 1.2$	$\beta = 3$
	$l_2/a > 3$	$\omega_2 = 1.2$	$l_2/a > 3$		$l_2/a > 3$	

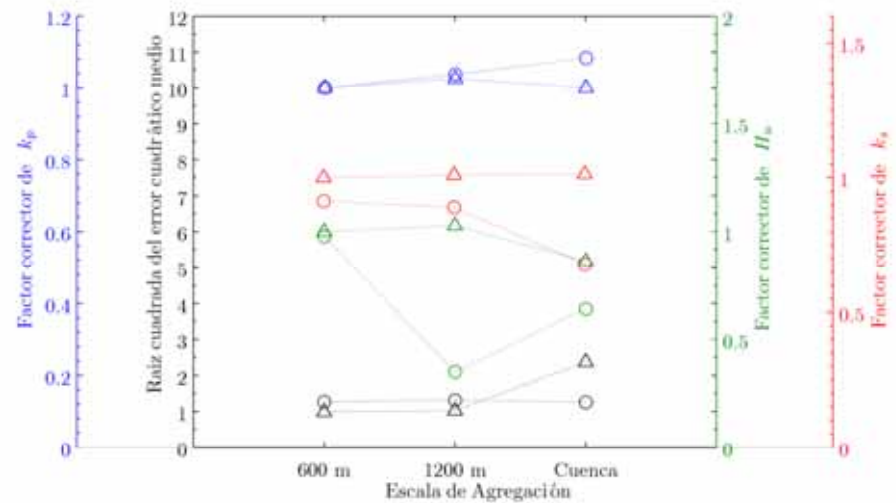


Efecto de agregación - experimento sintético



...○... Sin ecuaciones de escalado ...△... Con ecuaciones de escalado

Sin calibración



...○... Sin ecuaciones de escalado ...△... Con ecuaciones de escalado

Con calibración

Conclusiones



Conclusiones

- La solución inversa propuesta permitió transferir la variabilidad del sistema en la microescala a la mesoescala a través de **parámetros efectivos no estacionarios**
- A medida que la heterogeneidad se incrementa a nivel de microescala, es más probable encontrar valores del parámetro efectivo en la mesoescala inferiores al promedio del campo de valores en la microescala (**mientras no se alcance la saturación**)
- La varianza de los parámetros efectivos estimados en la mesoescala disminuye cuando **aumenta** la relación entre el tamaño de celda en la mesoescala y la longitud de correlación (l_2/a). Esta propiedad es fundamental para identificar un tamaño de celda que tenga las características de REA



Conclusiones

- El efecto de la macro no-linealidad, la heterogeneidad de los parámetros y la variabilidad del input puede mitigarse mediante el uso de **Ecuaciones de Escalado** de parámetros efectivos no estacionarios
- La representación de la variabilidad a nivel de sub-celda es importante en la modelación hidrológica, particularmente:
 - Se observó un mejoramiento sistemático del desempeño del modelo en las validaciones en **puntos internos** de la cuenca y para los **eventos de crecida más pequeños**
 - En general, se encontró un mejor funcionamiento en validación de **R1+EE** y **R2+EE** en comparación con el modelo de referencia **R1**



Futuras líneas de investigación

- Se ha identificado que el efecto de escala espacial está relacionado con la **magnitud** del evento. Es importante investigar la existencia de **umbrales de lluvia** a partir de los cuales se minimice el efecto de escala espacial
- Esta tesis se ha centrado en el análisis del efecto de escala espacial en los parámetros hidráulicos del suelo (**que representan dos tipos de no linealidad**). Es necesario estudiar y entender los efectos de escala en otros procesos como la **evapotranspiración** y la **propagación** del flujo



Futuras líneas de investigación

- Interesa abordar **desde este mismo enfoque** el efecto de escala espacial en otros modelos hidrológicos distribuidos para contrastar sus resultados con los resultados de esta investigación
- Implicaciones de la utilización de las ecuaciones de escalado en la **incertidumbre del modelo**
- Articular el conocimiento de los diferentes procesos hidrológicos que se han conceptualizado en la mesoescala con formulaciones desarrolladas en otras escalas



Agradecimientos

Este trabajo ha sido subvencionado por el Ministerio Español de Ciencia e Innovación a través de los proyectos de investigación FLOOD-MED (ref. CGL2008-06474-C02-02/BTE) y Consolider-ingenio SCARCE (ref. CSD2009-00065). Y ha contado con el soporte del Programa ALβan, Programa de Becas de Alto Nivel de la Unión Europea para América Latina, beca No. E07D402940CO.

Gracias por su atención